

## 쉬땅나무의 Flavonoid 성분

김대근\*, 신태용

우석대학교 약학대학

### Flavonoids from *Sorbaria sorbifolia* var. *stellipila*

Dae Keun Kim\* and Tae Yong Shin

College of Pharmacy, Woosuk University, Samrye 565-701, Korea

**Abstract** – From the aerial parts of *Sorbaria sorbifolia* var. *stellipila*, three flavonoids, (+)-catechin (1), (-)-epicatechin (2) and astragalin (3) have been isolated and characterized by physicochemical and spectral means.

**Key words** – *Sorbaria sorbifolia* var. *stellipila*; Rosaceae; (+)-catechin; (-)-epicatechin; astragalin.

쉬땅나무(*Sorbaria sorbifolia* var. *stellipila* Max.)는 장미과(Rosaceae)에 속하는 낙엽관목으로서 뿌리가 지하경처럼 뻗으며, 잎은 호생하고 羽狀複葉이고 소엽은 13~23개이며 끝이 뾰족하고 複鋸齒가 있다. 꽃은 6~7월에 가지 끝에 複總狀花序로 많은 백색꽃이 달리며 꽃잎과 꽃받침이 5개씩이다.<sup>1)</sup> 한방에서 성모진주매(星毛珍珠梅)라하여 骨折, 跌打損傷에 사용하고 있다.<sup>2)</sup>

*Sorbaria*속 식물에 대한 연구로는 Arisawa 등이 scutellarein rhamnoside를 분리<sup>3)</sup>하였고, Munehisa 등이 sorbifolin<sup>4)</sup>을, Zaitsev 등이 querectin-3-β-D-galactopyranoside<sup>5)</sup> 등을 분리하는 등 주로 flavonoid 화합물이 단리되어 보고되었다.

저자 등은 본 식물의 methylene chloride 분획으로부터 세포독성성분으로 2종의 물질, cucurbitacin D와 F를 분리보고<sup>6)</sup>한 바 있으며, 계속되는 연구의 하나로 ethyl acetate 분획에서 식물화학적 성분규명을 목적으로 실험을 실시하여 3종의 flavonoid를 분리하고 그 구조를 확인하였기에 이를 보고하고자 한다.

### 재료 및 방법

**실험재료** – 본 실험에 사용한 쉬땅나무 *Sorbaria sorbifolia* var. *stellipila* Max.는 1997년 6월에 강원도 오대산에 자생하는 것을 직접 채취하였다. 위 식물은 정확히 감정한 후에 음건세절하여 실험에 사용하였으며, 표품(WSU-002)은 우석대학교 약학대학 생약표본실에 보관되어 있다.

**시약 및 기기** – Column packing용 silica gel은 Kiesel gel 60(230~400 mesh)를 사용하였고, TLC plate는 Kiesel gel 60 F<sub>254</sub> precoated plate를 사용하였다. 발색시약으로는 10% H<sub>2</sub>SO<sub>4</sub>(in EtOH)을 사용하였으며, UV로 254, 365 nm detection을 병행하였다. 용점측정은 Gallenkamp melting point apparatus(uncorrected)로, UV spectrum은 Shimadzu UV 240 UV-Visible recording spectrophotometer를, IR은 Nicolet model 205 FT-IR spectrophotometer를 사용하였다. <sup>1</sup>H-NMR과 <sup>13</sup>C-NMR spectrum은 Brucker AMX 500 spectrometer 그리고 EI-MS spectrum은 VG70-VSEQ(VG analytical, UK)을 사용하여 측정하였다.

**추출 및 분리** – 신선한 쉬땅나무 3 kg을 음건세절

\*교신저자 : Fax 0652-290-1567

하여 10일간 상온에서 methanol로 2회 추출하고, 수육상(50°C)에서 5시간씩 2회 온침하였다. 추출액을 수육상에서 갑암농축하여 methanol 엑스 70 g을 얻었으며, 이를 종류수 400 ml로 혼탁시키고 methylene chloride(400 ml×2), ethylacetate(400 ml×2) 및 butanol(400 ml×2)로 분획하였다.

Ethylacetate 엑스 5 g을 methanol을 유출용배로 Sephadex LH-20 column chromatography를 실시하여 TLC양상을 참고로 4개 분획으로 나누었다. 4개 분획 중 3번 분획에 대하여 silica gel column chromatography(n-hexane-EtOAc-MeOH, 7:10:1)를 실시하여 3개 소분획으로 나누었다. 이중 2번 소분획을 MeOH-H<sub>2</sub>O(4:6)을 유출용배로 reverse phase column chromatography로 정제하여 무색 결정성 분말(MeOH)의 화합물 1, 17 mg과 화합물 2, 15 mg을 각각 얻었다. 1번 분획에 대하여는 silica gel column chromatography(Chloroform-MeOH, 5:1)를 실시하여 2개 소분획으로 나누고, 이중 2번 소분획을 methanol을 유출용배로 하여 Sephadex LH 20 column chromatography를 반복 실시하여 황색 침상결정(MeOH)의 화합물 3, 15 mg을 얻었다.

**화합물 1** - FeCl<sub>3</sub> test: positive; mp 175~176°C; UV,  $\lambda_{\text{max}}$ (MeOH) 210, 281; EIMS *m/z*(70 eV, rel. int.) 290(M<sup>+</sup>, 20), 272(3), 152(42), 139(100); <sup>1</sup>H-NMR(400 MHz, CD<sub>3</sub>OD) δ: 6.83(1H, d, *J*=1.8 Hz, H-2'), 6.75(1H, d, *J*=7.9 Hz, H-5'), 6.71(1H, dd, *J*=7.9, 1.8 Hz, H-6'), 5.92, 5.84(each 1H, d, *J*=2.4 Hz, H-6, 8), 4.55(1H, d, *J*=7.9 Hz, H-2), 3.96(1H, ddd, *J*=8.5, 7.9, 5.5 Hz, H-3), 2.83(1H, dd, *J*=16.5, 5.5 Hz, H-4), 2.49(1H, dd, *J*=16.5, 8.5 Hz, H-4); <sup>13</sup>C-NMR(100 MHz, CD<sub>3</sub>OD) δ: Table I.

**화합물 2** - FeCl<sub>3</sub> test: positive; mp 233~235 °C; UV,  $\lambda_{\text{max}}$ (MeOH) 235, 283; EIMS *m/z*(70 eV, rel. int.) 290(M<sup>+</sup>, 35), 152(55), 139(100); <sup>1</sup>H-NMR(400 MHz, CD<sub>3</sub>OD) δ: 6.93(1H, d, *J*=1.8 Hz, H-2'), 6.73 (1H, d, *J*=8.3 Hz, H-5'), 6.71 (1H, dd, *J*=8.3, 1.8 Hz, H-6'), 5.89, 5.87(each 1H, d, *J*=2.4 Hz, H-6, 8), 4.76(1H, brs, H-2), 4.11 (1H, t-like, *J*=2.9 Hz, H-3), 2.79(1H, dd,

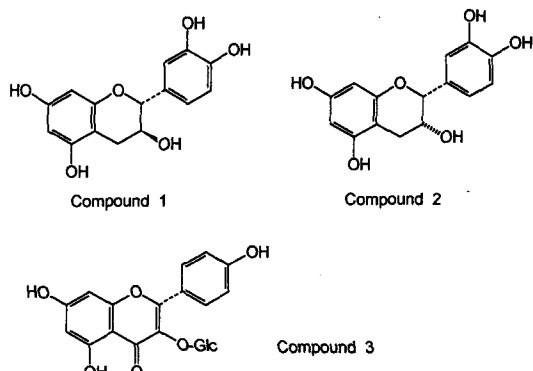
**Table I.** <sup>13</sup>C-NMR spectral data of compounds 1~3 (in CD<sub>3</sub>OD)

Carbon No.	1	2	3
2	82.8	79.8	158.5
3	68.8	67.4	135.4
4	28.5	29.2	179.5
5	157.6 <sup>a</sup>	158.0	163.1
6	96.2	96.3	99.9
7	156.9 <sup>a</sup>	157.2	166.0
8	95.4	95.9	94.7
9	157.8 <sup>a</sup>	157.3	159.1
10	100.8	100.0	105.8
1'	132.2	132.3	122.8
2'	115.2	115.3	132.3
3'	146.2	145.7	116.1
4'	146.2	145.9	161.6
5'	116.0	115.9	116.1
6'	120.0	119.4	132.3
1"			104.1
2"			75.7
3"			78.4
4"			71.4
5"			78.0
6"			62.6

<sup>a</sup>Assignments may be interchangeable within the same vertical column.

*J*=16.5, 5.5 Hz, H-4), 2.49(1H, dd, *J*=16.5, 8.5 Hz, H-4); <sup>13</sup>C-NMR(100 MHz, CD<sub>3</sub>OD) δ: Table I.

**화합물 3** - FeCl<sub>3</sub>, Zn/HCl, Mg/HCl and molisch tests: positive; mp 184~185°C; UV,  $\lambda_{\text{max}}$ (MeOH) 265, 305, 350; IR,  $\nu_{\text{max}}^{\text{KBr}}$ (cm<sup>-1</sup>) 3430, 1650(C=O), 1022; <sup>1</sup>H-NMR(400 MHz, CD<sub>3</sub>OD)



**Fig. 1.** Structures of isolated compounds from *Sorbaria sorbifolia* var. *stellipila*.

$\delta$ : 8.04(2H, d,  $J=8.8$  Hz, H-2', 6'), 6.88(2H, d,  $J=8.8$  Hz, H-8), 6.39(1H, d,  $J=2.0$  Hz, H-8), 6.20(1H, d,  $J=2.0$  Hz, H-6), 5.25(1H, d,  $J=7.1$  Hz, anomeric H), 3.70~3.19(sugar H);  $^{13}\text{C}$ -NMR(100 MHz, CD<sub>3</sub>OD)  $\delta$ : Table I.

## 결과 및 고찰

쉬땅나무의 지상부로부터 얻은 methanol액스를 통상적인 방법으로 분획하여 얻은 ethyl acetate분획을 Sephadex LH-20과 silica gel column chromatography를 반복 실시하여 3종의 flavonoid 성분을 단리하였다.

화합물 1은 1% FeCl<sub>3</sub>에 양성으로 phenolic compound임을 알 수 있었으며, MS spectrum에서는  $m/z$  290에서 molecular ion peak를 볼 수 있었고,  $m/z$  139에서 retro-Diels-Alder fragmentation peak인 *ortho*-hydroxybenzyl cation을 관찰할 수 있었다.<sup>7)</sup>  $^1\text{H}$ -NMR data에서  $\delta$  5.92, 5.84의 *meta*-coupled doublets( $J=2.4$  Hz)는 A ring의 H-8과 H-6을 나타내며, 이로부터 C-5와 C-7에 치환체가 존재함을 알 수 있었고,  $\delta$  4.55의 doublet( $J=7.9$  Hz)는 C ring의 H-2를 나타내며, 이는 H-3( $\delta$  3.96)과 trans coupling을 하고 있음을 알 수 있었으며, H-3(ddd,  $J=8.5, 7.9, 5.5$  Hz)의 peak와 H-4( $\delta$  2.83, dd,  $J=16.5, 5.5$  Hz,  $\delta$  2.49, dd,  $J=16.5, 8.5$  Hz) peak들의 coupling 양상으로 보아 이 물질은 flavan-3-ol 계통임을 확인할 수 있었다.<sup>8)</sup>  $^{13}\text{C}$ -NMR data에서는 C-3이  $\delta$  68.8에서 관찰되어 hydroxyl group의 존재를 확인할 수 있었고, carbonyl group은 존재하지 않음을 알 수 있었다. 이상의 결과로부터 이 물질은 (+)-catechin으로 추정하였으며, 문헌상의 data와 비교하여 이를 확인 동정하였다.<sup>9~11)</sup>

화합물 2는 1% FeCl<sub>3</sub> 용액에 양성이며, MS spectrum에서는  $m/z$  290에서 molecular ion peak를 볼 수 있었고,  $^1\text{H}$ -NMR spectrum은  $\delta$  4.76에서 broad한 singlet 양상으로 나타났으며, H-3 proton이  $\delta$  4.11에서 triplet-like( $J=2.9$  Hz)로 관찰되는 것과  $^{13}\text{C}$ -NMR data에서 화합물 1과 C-2와 C-3의 chemical shift 값만 차이가 있

을 뿐 나머지 탄소의 chemical shift 값이 거의 일치하는 것으로 보아 (-)-*cis* catechin type 화합물임을 추정할 수 있었다. 이상의 결과와 기존의 문헌을 비교하여 화합물 2는 (-)-epicatechin으로 구조를 확인 동정하였다.<sup>12,13)</sup>

화합물 3은 Molisch test와 각종 flavonoid 확인반응에서 양성을 나타냈으며, IR spectrum에서 glycoside linkage(1000~1100 cm<sup>-1</sup>) 영역인 1022 cm<sup>-1</sup>에서 peak가 관찰되어 화합물 3은 flavonoid glycoside임을 추정할 수 있었다. 5% H<sub>2</sub>SO<sub>4</sub>(MeOH) 시액으로 가수분해하여 얻은 D-glucose와 aglycone인 kaempferol은 표품과 직접 비교(TLC)하여 확인하였다.  $^1\text{H}$ -NMR spectrum은  $\delta$  5.25에서 anomer H가 한 개만 관찰되어 화합물 3은 한 개의 당만이 결합되어 있음을 알 수 있었다. 당의 결합위치는 UV에서 350 nm에서 maximum peak가 나타나 C-3에서 결합되어 있음<sup>14)</sup>을 확인하였다. 결합한 당의 configuration은 결합정수( $J=7.1$  Hz)로 확인하였다. 이상으로 화합물 3의 구조는 kaempferol 3-O- $\beta$ -D-glucopyranoside(astragalin)로 기존 문헌상의 data와 비교하여 이를 확정하였다.<sup>15,16)</sup>

## 결 론

쉬땅나무(*Sorbaria sorbifolia* var. *stellipila*)의 식물화학적 성분연구를 목적으로 쉬땅나무 지상부의 ethyl acetate 가용부를 대상으로 각종 column chromatography를 실시하여 3종의 flavonid 화합물을 분리하고, UV, IR, MS,  $^1\text{H}$ - 및  $^{13}\text{C}$ -NMR 등의 각종 spectral data를 이용하여 화합물 1, 2 및 3의 구조를 밝혔으며, 그 구조는 각각 (+)-catechin(1), (-)-epicatechin(2) 및 astragalin(3)으로 확인되었다. 이들은 쉬땅나무에서 처음으로 분리·보고되는 화합물이다.

## 사 사

본 논문은 1998년도 우석대학교 학술연구 조성비에 의하여 연구되었으며 이에 감사드립니다.

## 인용문현

1. 이창복(1989) 대한식물도감, 132. 향문사, 서울.
2. 蕭培根(1994) 中國本草圖鑑(第4卷), 126. 麗江出版社, 서울.
3. Arisawa, M. and Nakaoki, T. (1969) Unutilized resources. II. A new flavonoid glycoside in the leaves of *Sorbaria stellipila*. *Yakugaku Zasshi* 89: 705-706.
4. Munehisa, A., Tokutaro, T. and Tashichiro, N. (1970) Studies on unutilized resource. IV. Flavonoids in the leaves of *S. stellipila*. *Chem. Pharm. Bull.* 18: 916-918.
5. Zaitsev, V. G. and Makarova, G. V. (1969) Phytochemical study of *Sorbaria sorbifolia* leaves. *Farm. Zh.* 24: 63-67.
6. Kim, D. K., Choi, S. H., Lee, J. O., Ryu, S. Y., Park, D. K., Shin, D. H., Jung, J. H., Pyo, S. K., Lee, K. R. and Zee, O. P. (1997) Cytotoxic constituents of *Sorbaria sorbifolia* var. *stellipila*. *Arch. Pharm. Res.* 20: 85-87.
7. Tschesche, R., Braun, T. M. and Sassen, W. V. (1980) Symplocoside, a flavanol glycoside from *Symplocos uniflora*. *Phytochemistry* 19: 1825-1829.
8. Morimoto, S., Nonaka, G. I., Nishioka, I., Ezaki, N. and Takizawa, N. (1985) Tannins and related compounds. XXIX. Seven new methyl derivatives of flavan-3-ols and a 1,3-diarylpropan-2-ol from *Cinnamomum cassia*, *C. obusifolium* and *Lindera umbellata* var. *membranacea*. *Chem. Pharm. Bull.* 33: 2281-2286.
9. Son, B. W., Park, J. H. and Zee, O. P. (1989) Catechin glycoside from *Ulmus davidiana*. *Arch. Pharm. Res.* 12: 219-222.
10. Young, H. S., Park, J. C. and Choi, J. S. (1987) Isolation of (+)-catechin from the roots of *Rosa rugosa*. *Kor. J. Pharmacogn.* 18: 177-179.
11. Yeo, H. S., Kim, J. W. and Chung, B. S. (1992) Phytochemical studies on the constituents of *Filipendula glaberrima*. *Kor. J. Pharmacogn.* 23: 121-125.
12. Do, J. C., Son, K. H. and Kang, S. S. (1988) Studies on the constituents of the roots of *Rubus parvifolius*. *Kor. J. Pharmacogn.* 19: 170-173.
13. Morimoto, S., Nonaka, G. and Nishioka, I. (1986) Tannins and related compounds. XXXVIII. Isolation and characterization of flavan-3-ol glucosides and procyanidin oligomers from cassia bark. *Chem. Pharm. Bull.* 34: 633-642.
14. Mabry, T. J., Markham, K. R. and Thomas, M. B. (1970) The systematic identification of flavonoids. 41. Springer-Verlag, New York.
15. Do, J. C., Yu, Y. J., Jung, K. Y. and Son, K. H. (1992) Flavonoids from the leaves of *Polygala japonica*. *Kor. J. Pharmacogn.* 23: 9-13.
16. Do, J. C., Jung, K. Y. and Son, K. H. (1992) Flavonoid glycosides from the fronds of *Pyrrosia lingua*. *Kor. J. Pharmacogn.* 23: 276-279.

(1998년 8월 5일 접수)